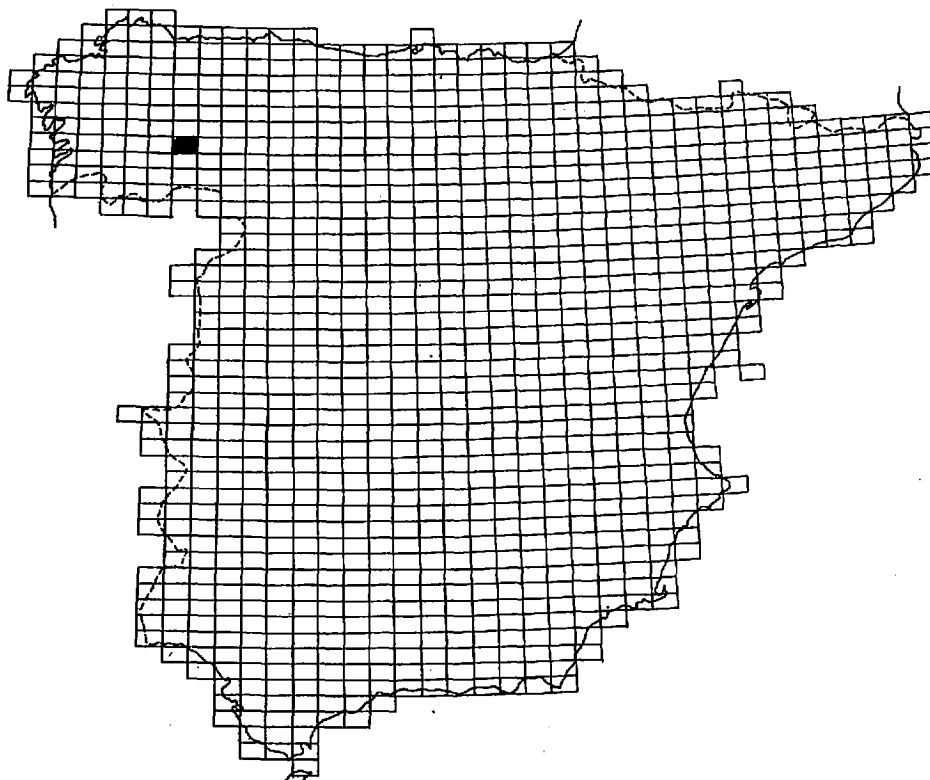


GEOTEHIC S.A.
INGENIEROS CONSULTORES

MAPA GEOLOGICO NACIONAL

Escala 1:50.000

MAGNA



EL BARCO DE VALDEORRAS

DOCUMENTACION COMPLEMENTARIA	190
FOTOGRAFÍAS	9-10

MAPA GEOLOGICO NACIONAL E 1:50.000
HOJA NUMERO 09-10 (190)
EL BARCO DE VALDEORRAS

DOCUMENTACION COMPLEMENTARIA

FOTOGRAFIAS

Contacto entre los esquistos azules ordovícicos y la caliza del Ashgill en la zona de la Portela. Estación AH-1008



Aspecto de la formación detrítica
terciaria de Villanueva. Estación AH-1025

(T^B_C)





Otro aspecto de las trincheras de la futura cra. nacional de Orense, excavadas en la formación terciaria, detrítica, roja, acarvacada y con problemas de deslizamientos locales. (T^{Bas})
Estación 1035 a



Aspecto panorámico del Terciario de la Vega de Cascallana. Estación AH-1035 b

(T^Bas)



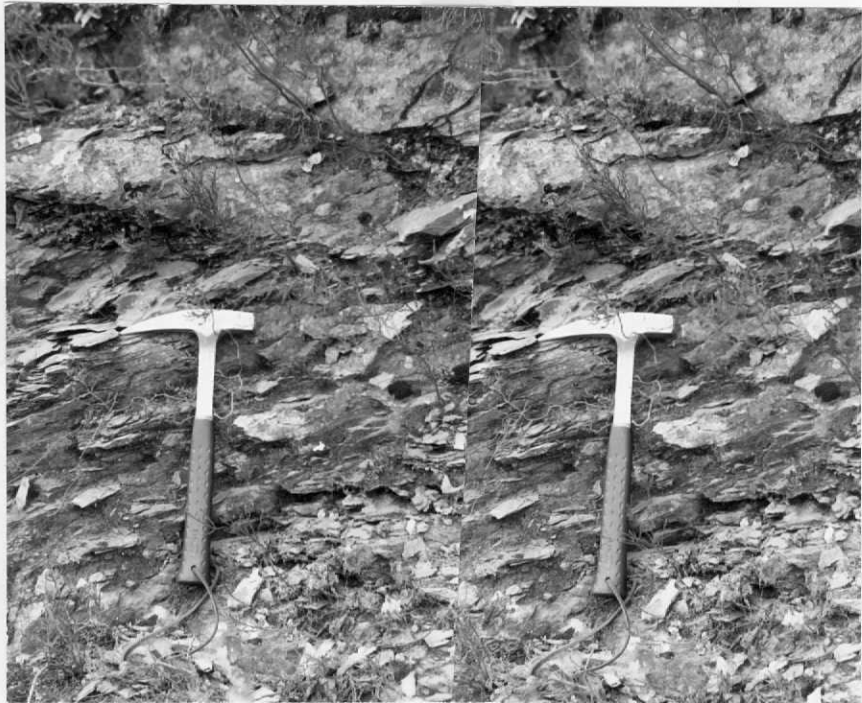
Contacto del Terciario continental y el substrato paleozoico (esquistos azules del Ordovícico)
en la zona de Biobra. Estación AH-1056



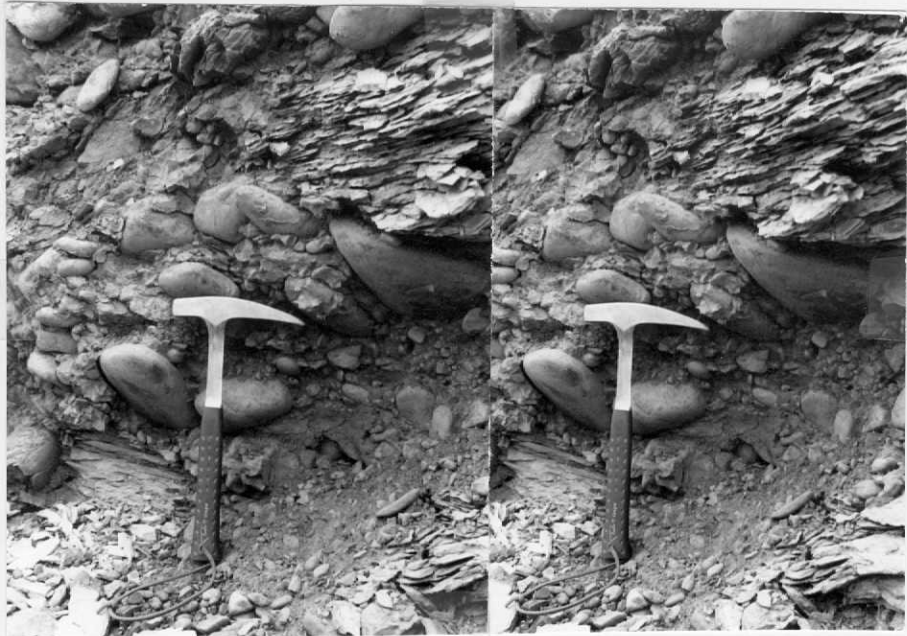
Repliegues y pliegues cilíndricos en los niveles cuarcíticos del Siluriano superior. Estación AH-1060

Detalle de las cuarcitas y esquistos alternantes en la estación AH-1076





Lineaciones de intersección en los tramos alternantes de esquistos y areniscas del Silúrico—~~Devónico~~. Estación AH-1076 **B**



Detalle de la intrusión masiva aluvional de los conglomerados rojos del Terciario en los esquistos del complejo Devono-~~Carbonífero~~.
Estación AH-1077 a



Detalle de la intrusión masiva aluvional de los conglomerados rojos del Terciario en los esquistos del complejo Devono—Carbonífero. Estación AH—1077 b

Detalle de la charnela en cuarcitas
azuladas ~~de la foto de la charnela~~
Estación AH-1081 *a*

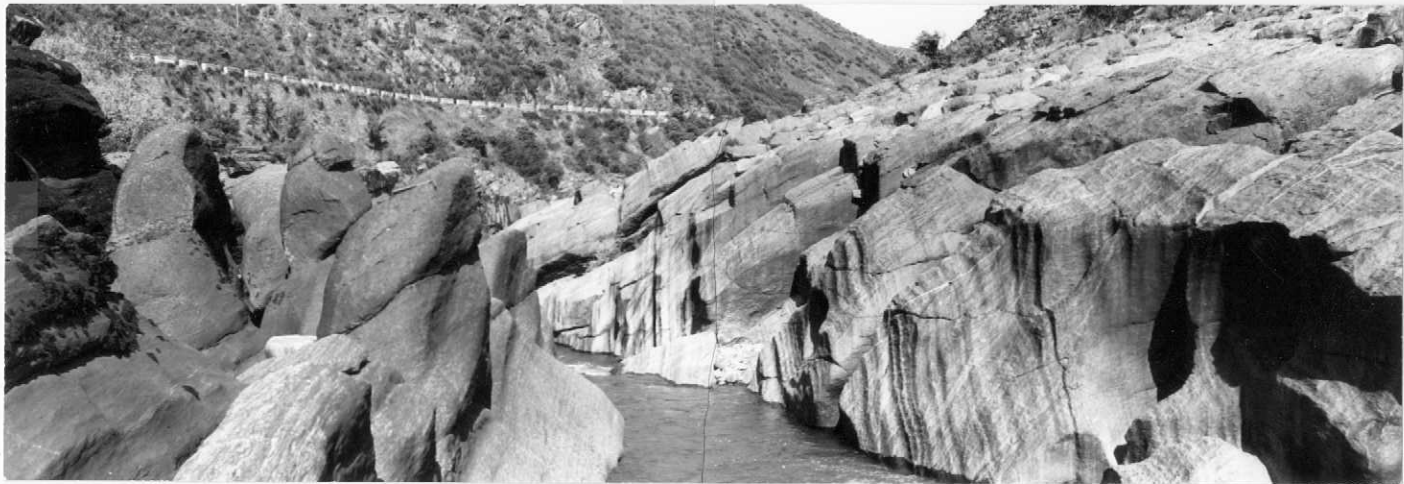




Cuarcitas tableadas, azules o verdosas,
que sirven de separación entre el Silu-
riano ampelítico y la serie flysthoide.
Estación AH-1081 b(S^B₂₋₃)

Punto singular en el cauce del Sil, donde la proximidad a la zona de charnela obliga a la esquistosidad y estratificación sen casi perpendiculares. Formación "Agüeira" de carácter turbidítico. Estación AH-1095 a
(O₂-3)





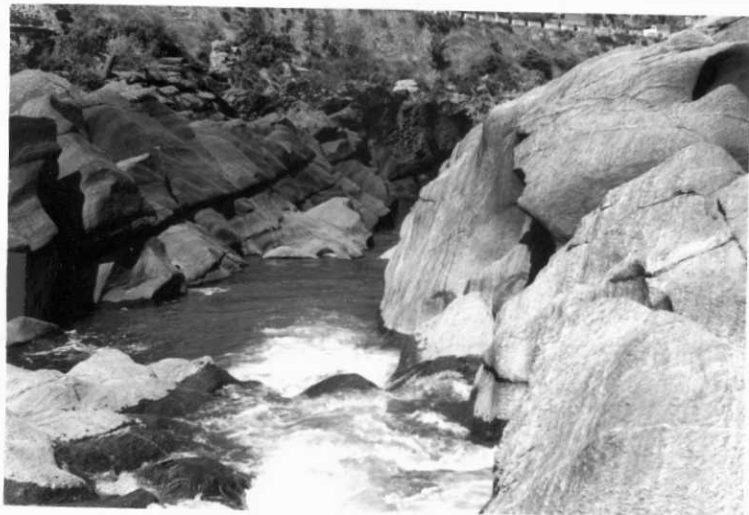
Punto singular en el cauce del Sil, donde la proximidad a la zona de charnela obliga a la esquistosidad y estratificación a ser casi perpendiculares. Formación "Agüeira" de carácter turbidítico. Estación AH-1095b (02-3)



Punto singular en el cauce del Sil, donde la proximidad a la zona de charnela obliga a la esquistosidad y estratificación a ser casi perpendiculares. Formación "Agüeira" de carácter turbidítico. Estación AH-1095C (02-3)

Punto singular del cauce del Sil,
donde la proximidad a la zona de
charnela obliga a la esquistosidad y
estratificación ser casi perpendicu-
lares. Formación "Agüeira" de ca-
rácter turbidítico. Estación AH-1095 d

(02-3)



Diaclasas de tensión con cuarzo exudado ~~profundo~~. Se pudo comprobar que son grietas de tensión originadas antes de la 1ª fase de metamorfismo, en la etapa diagenética del sedimento.

Formación Agüeira. Cra de Puente de Domingo Flores a Casayo.
Estación AH-1101 (O₂-3)



Esquistosidad de Fase II y pliegues
en los esquistos inferiores a la Cuar-
cita Armoricana. Anticlinal del
"Olló de Sapo". Estación AH-1102





Tectonicidad de la caliza de Aquiana
Estación AH-1103a (O_{3c})



Cantera en las calizas de la ~~A~~quiana. Estación AH-1103b (03c)



Canteras en la caliza de la Guiana. Estación AH-1103 ● c

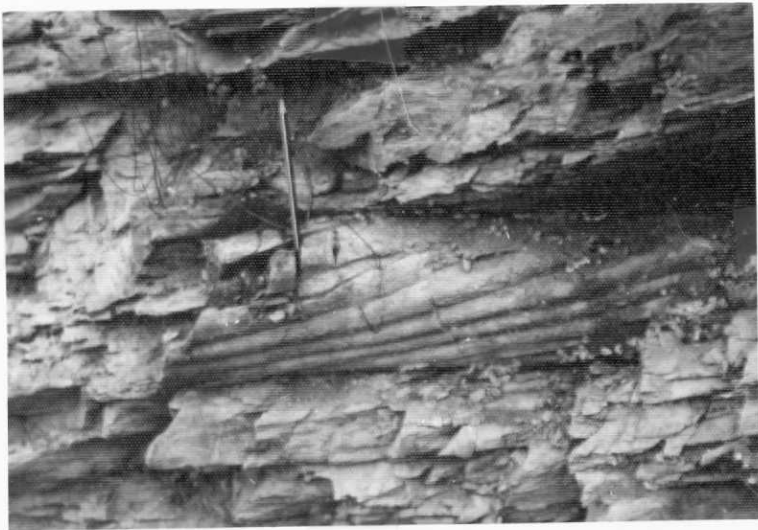
(03c)



Acopios de gravilla (áridos de trituración) en la cantera caliza
de la estación AH-1103 d (03)

Aspecto de las intercalaciones areniscas del Ordovícico superior
Estación AH-1104





Pliegue de Fase I donde L_1 no es paralela al eje del pliegue.
Estación AH-1105



Aspecto del granito de la Rúa.
Estación AH-1106



Aspecto de detalle del granito de la Rúa.
Estación AH-1107



Deslizamiento en los esquistos ~~de~~ ordovícicos que fosilizan un antiguo suelo. Estación AH-1108

Aspecto de la Cuarcita Armoricana en el anticlinal del Olo de Sapo.

Estación AH-1109 (O₁₂)



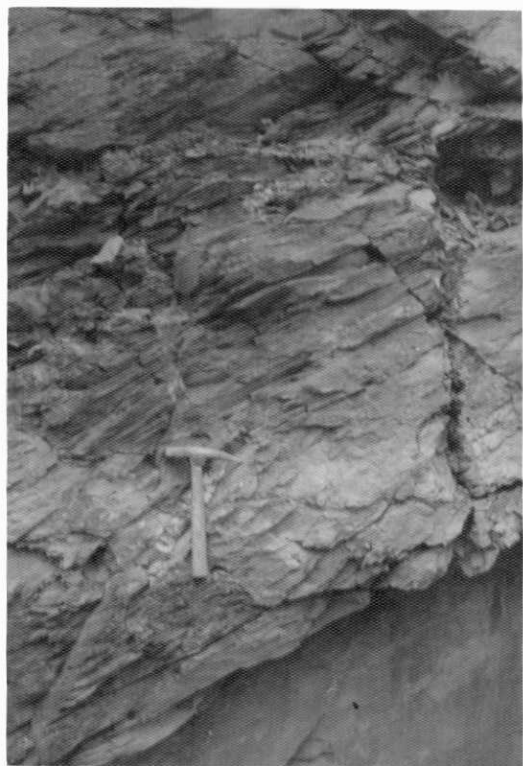
Pliegue de fase I en las cuarcitas y microconglomerados. Estación AH-1110



Pliegues de Fase I en los tramos Basales
más cuarcíticos de la formación Agüeira.
Estación AH-1111

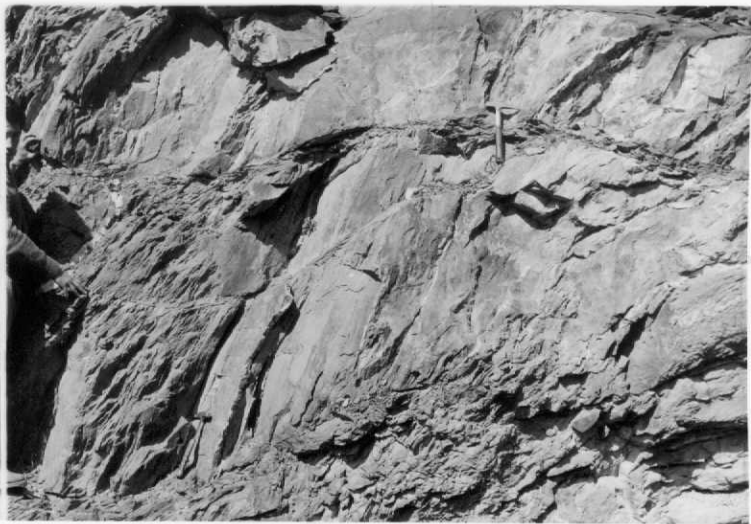


Relación S_0 y S_1 en los tramos cuarcíticos
Basales de la Formación Agüeira.
Estación AH-1112 a (02-3)





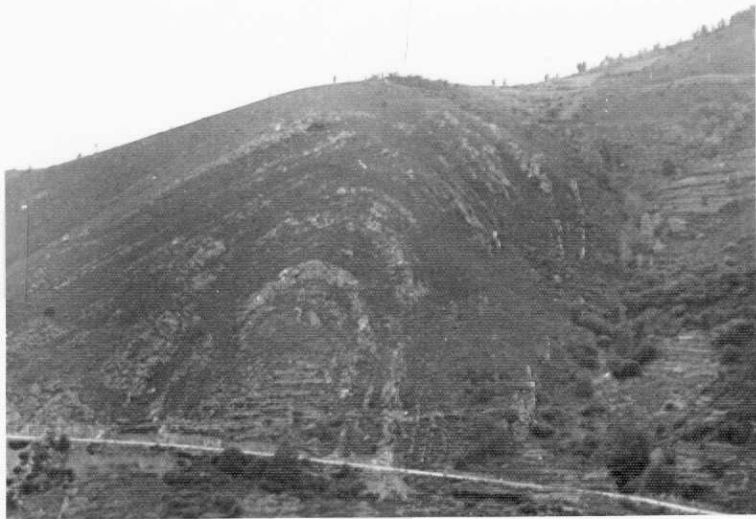
Relación de flanco invertido
en la formación Agüeira. Cra
de Puente de Domingo Flores
a Casayo. Estación AH-1112 b
(02-3)



Esquistosidad y estratificación en una zona próxima
de charnela. Formación Agüeira. (02-3)
Estación AH-1112 ↩

Formación Agüeira. Estación AH-1112
(02-3)





Anticlinal de Fase II de
Matte en las proximida-
des de Barja.

Estación AH-1113

Aspecto de detalle del microconglomerado.
Estación AH-1114





Esquistosidad de Fase II
en los esquistos y/o pizarras de Lúcar. (Oz)
Estación AH-1115

Aspecto de los esquistos ~~cañales~~—Ordo-
vícicos en el anticlinal del Caurel.
Estación AH-1116 (CA₂-011)





Disyunción en bolas del granito de la Rúa.
Estación AH-1117 *a*



Disyunción en bolas del granito de la Rúa.
Estación AH-1117 b

Esquistosidad de fractura vertical
en el pliegue de Barja
Estación AH-1118





Boudines en la cuarcita armoricana.
Estación AH-1119 (012)

Aspecto de detalle de la
fotografía anterior
Estación AH-1120
(CA₂-O₁₁)



Pizarras azules (p. de Luarca)
en la cra de Casoyo. 02
Est. AH-1121a





Material cortado y a punto de ser embalado
en cajas de madera, para su exportación. Son
pizarras azules (Llandeiro) de la cra. de Casoyo
Estación AH-1121 b (Oz)



Explotación de pizarras ("pizarras azules") de techar. Formación del Llandeilo de la Cra. de Casoyo. (O₂)
Estación AH-1121c



Detalle de las hojas de pizarra explotadas al S de Puente
de D. F. Formación de pizarras azules (Llandeilo)
Estación AH-1121 d



Frente de explotación de las pizarras azules (Llanvir-Llandeilo) (O_2)
Penedo Rayado . Estación AH-1122